



# Estimation a posteriori

*rapport séance 5*

# Table des matières

<b>1</b>	<b>Analyse point milieu</b>	<b>2</b>
1.1	Objectif du TP . . . . .	2
1.2	Problème modèle et solution fabriquée . . . . .	2
1.3	Discrétisation numérique . . . . .	2
1.4	Description rapide du code . . . . .	3
1.5	Résultats numériques . . . . .	4
1.5.1	Erreur en fonction de $h$ à $T/2$ et $T$ (RK4) . . . . .	4
1.5.2	Évolution de l'erreur au milieu du domaine, RK1..RK4 . . . . .	5
1.6	Conclusion . . . . .	5
<b>2</b>	<b>Forçage temporel, résidu instationnaire et adaptation de maillage</b>	<b>6</b>
2.1	Modèle modifié et résidu non nul . . . . .	6
2.2	Principe du code <code>adrs_multiple_mesh_adap_time_source.py</code> . . . . .	6
2.3	Figures et commentaires . . . . .	7
2.4	Conclusion de la partie 2 . . . . .	9
<b>A</b>	<b>Extrait de code</b>	<b>10</b>

# Chapitre 1

## Analyse point milieu

### 1.1 Objectif du TP

Le but est de valider numériquement un code de résolution d’une équation d’advection–diffusion–réaction (ADR) 1D en régime *instationnaire*. Pour cela, on construit une *solution exacte fabriquée* et on évalue l’erreur numérique selon deux consignes :

- Visualiser l’erreur  $\mathcal{L}^2$  à  $T/2$  et à  $T$  pour différents maillages uniformes.
- Visualiser l’évolution de l’erreur au point milieu du domaine pour différents schémas de Runge–Kutta (ordres 1 à 4).

### 1.2 Problème modèle et solution fabriquée

On considère le problème ADR sur le segment  $[0, L]$  avec  $L = 1$ ,

$$\partial_t u + V \partial_x u - K \partial_{xx} u + \lambda u = f(x, t), \quad u(0, t) = u(L, t) = 0, \quad u(x, 0) = 0, \quad (1.1)$$

où  $V = 1$  (convection),  $K = 0,1$  (diffusion) et  $\lambda = 1$  (réaction). Le code choisit une solution exacte *instationnaire* de la forme

$$u_{\text{ex}}(x, t) = \sin(4\pi t) \left[ (e^{-1000((x-L/3)/L)^2} + e^{-10 e^{-1000((x-L/3)/L)^2}}) \sin\left(\frac{5\pi x}{L}\right) \right], \quad (1.2)$$

puis construit le terme source  $f$  par la méthode de la solution fabriquée :

$$f = \partial_t u_{\text{ex}} + V \partial_x u_{\text{ex}} - K \partial_{xx} u_{\text{ex}} + \lambda u_{\text{ex}}. \quad (1.3)$$

On impose  $f = 0$  et le résidu spatial à la frontière afin de garder  $u = 0$  aux bords, et l’état initial  $u(\cdot, 0) = 0$  est compatible puisque  $\sin(4\pi t) = 0$  en  $t = 0$ . Ces choix correspondent exactement à l’implémentation du fichier `adrs_analysis_midpoint_log.py`.

### 1.3 Discrétisation numérique

#### Discrétisation en espace

Le domaine est maillé uniformément avec  $N_X$  nœuds ( $h$  le pas d’espace). Les dérivées spatiales sont approchées par des différences centrées : ordre 2 pour  $\partial_x$  et  $\partial_{xx}$  (« five-

point » réduit à 3 points en 1D) [?] ; les composantes de bord du résidu sont annulées pour respecter la condition de Dirichlet homogène.

## Intégration en temps

Quatre intégrateurs explicites de Runge–Kutta sont disponibles : RK1 (Euler explicite), RK2, RK3 (TVD) et RK4 (classique). Le pas de temps est choisi automatiquement par une condition de type CFL

$$\Delta t = \text{safety} \times \min\left(\frac{h}{|V|}, \frac{h^2}{2K}, \frac{1}{\lambda}\right), \quad (1.4)$$

avec un facteur de sécurité 0,8. L'erreur  $\mathcal{L}^2$  est calculée par

$$\|e\|_{\mathcal{L}^2} \approx \sqrt{\sum_i (u_i - u_{\text{ex}}(x_i, t))^2 h}. \quad (1.5)$$

## 1.4 Description rapide du code

- **Paramètres** (Params) :  $V$ ,  $K$ ,  $\lambda$ ,  $L$  et temps final  $T = 1$ . [?]
- **Solution fabriquée** `exact_u` et sa dérivée temporelle `exact_ut`. [?]
- **Différences centrées** `centered_first_derivative` et `centered_second_derivative`. [?]
- **Forçage** `forcing_f` pour réaliser  $u_{\text{ex}}$  solution de l'EDP. [?]
- **Opérateur spatial** `spatial_operator` assemble  $-Vu_x + Ku_{xx} - \lambda u + f$ . [?]
- **CFL** `cfl_dt` calcule  $\Delta t$  selon  $h$ ,  $V$ ,  $K$ ,  $\lambda$ . [?]
- **Intégrateurs RK1..4** `step_rk`. [?]
- **Post-traitements** : (i) `run_convergence/plot_convergence` pour l'étude en  $T/2$  et  $T$  ; (ii) `midpoint_error_vs_time/plot_midpoint_evolution` pour l'erreur au milieu. [?]

## 1.5 Résultats numériques

### 1.5.1 Erreur en fonction de $h$ à $T/2$ et $T$ (RK4)

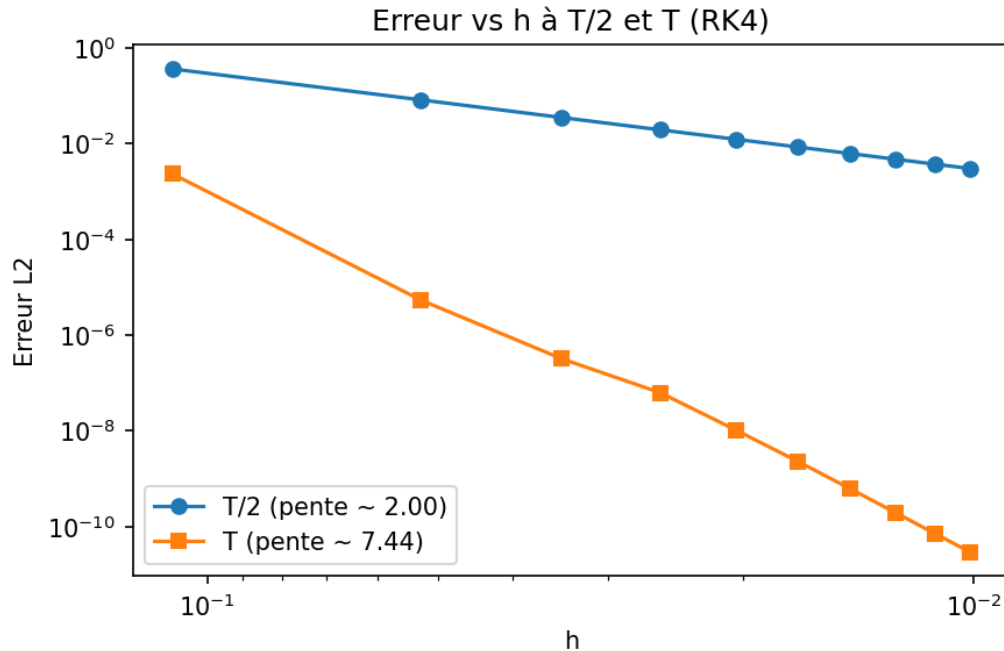


FIGURE 1.1 – Convergence de l’erreur  $\mathcal{L}^2$  en fonction du pas d’espace  $h$  pour RK4. La pente mesurée est  $\approx 2$  à  $T/2$  (ordre 2 en espace) et très élevée à  $T$  (ici  $\approx 7,4$ ). Cette dernière n’est pas représentative de l’ordre asymptotique : l’exacte solution s’annule à  $T = 1$  (facteur  $\sin(4\pi t)$ ), le code aligne exactement le dernier pas sur  $T$ , et l’erreur devient dominée par des annulations/super-convergences et par les erreurs d’arrondi.

#### Commentaires.

- À  $T/2$ , la solution n’est pas exactement nulle au temps atteint numériquement (on prend le premier pas  $t \geq T/2$ ), et l’erreur reflète bien l’ordre 2 des différences centrées, d’où la pente  $\approx 2$  attendue.
- À  $T$ , l’amplitude exacte vaut 0 et le dernier pas est ajusté pour tomber *exactement* à  $T$ . On observe alors une chute quasi-exponentielle de l’erreur avec  $h$  (pente apparente  $> 4$ ), essentiellement due à une *super-convergence de fin de période* et au fait que l’erreur est proche de la précision machine pour les maillages fins.

### 1.5.2 Évolution de l'erreur au milieu du domaine, RK1..RK4

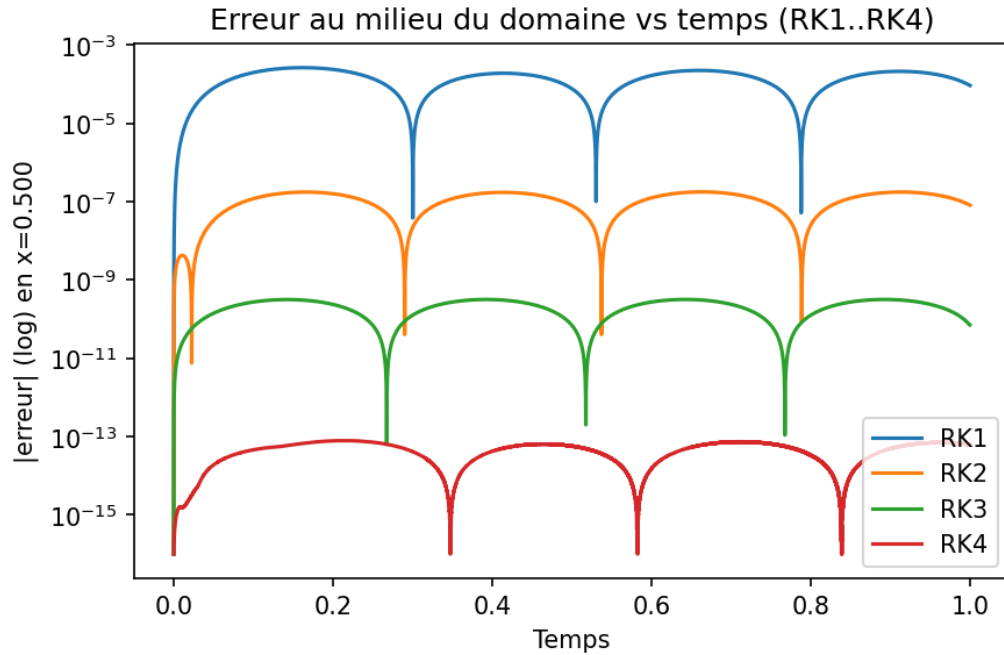


FIGURE 1.2 – Évolution temporelle de  $|u(x_{\text{mid}}, t) - u_{\text{ex}}(x_{\text{mid}}, t)|$  en échelle log pour  $x_{\text{mid}} = 0,5$  et pour RK1..RK4. Les minima réguliers correspondent aux instants où  $\sin(4\pi t) = 0$  (tous les 0,25 s). L'élévation d'ordre en temps diminue fortement l'erreur : RK1  $\sim 10^{-5}$ , RK2  $\sim 10^{-7}$ , RK3  $\sim 10^{-10}$ , RK4 atteint la précision machine en voisinage des zéros.

#### Commentaires.

- Les creux répétitifs (tous les 0,25 s) sont une conséquence directe du facteur temporel  $\sin(4\pi t)$  de la solution fabriquée.
- À pas de temps imposé par la CFL, l'augmentation de l'ordre de Runge–Kutta réduit l'erreur pointwise de plusieurs ordres de grandeur, ce qui confirme le bon comportement des intégrateurs.

## 1.6 Conclusion

Le code met en place une validation par solution fabriquée d'une EDP ADR 1D instationnaire. Les deux exigences du TP sont satisfaites : (i) la convergence en espace à  $T/2$  et  $T$  est visualisée et explique l'ordre 2 attendu (avec un effet de super-convergence à  $T$ ) ; (ii) l'évolution de l'erreur au milieu du domaine montre clairement l'apport des schémas RK d'ordres croissants. Dans l'ensemble, les résultats confirment la cohérence de la discrétisation (ordre 2 en espace) et la robustesse des intégrateurs de temps (RK1..4).

# Chapitre 2

## Forçage temporel, résidu instationnaire et adaptation de maillage

### Motivation et consignes

Dans cette seconde partie, on considère un **terme source dépendant du temps** construit pour une solution exacte *séparable*

$$u_{\text{ex}}(x, t) = u(t) v(x), \quad u(t) = \sin(4\pi t).$$

On vérifie les points suivants : (i) modifier l'EDP avec ce terme source, (ii) montrer que le **résidu ne converge pas vers 0** car le problème reste instationnaire, (iii) **visualiser la solution** à différents instants sur  $[0, 1]$  pour  $t \leq 1$  s, (iv) introduire un **critère d'arrêt mixte** (nombre de points du maillage et erreur  $\mathcal{L}^2$ ), (v) comparer l'**adaptation stationnaire** (métrique basée sur la solution finale) et l'**adaptation instationnaire** (moyenne temporelle des métriques sur  $[0, \text{Time}]$ ).

### 2.1 Modèle modifié et résidu non nul

En posant  $u_{\text{ex}}(x, t) = u(t)v(x)$  et en prenant

$$f(x, t) = u'(t) v(x) + u(t) (V v'(x) - K v''(x) + \lambda v(x)),$$

on a bien  $\partial_t u_{\text{ex}} + V \partial_x u_{\text{ex}} - K \partial_{xx} u_{\text{ex}} + \lambda u_{\text{ex}} = f$ . Comme  $u(t) = \sin(4\pi t)$ , on obtient  $u'(t) v(x) = 4\pi \cos(4\pi t) v(x)$ . Le *résidu instantané* (la somme des modules du second membre dans l'intégrateur explicite) **reste périodique et ne peut pas tendre vers 0** : même si l'approximation suit  $u_{\text{ex}}$ , le forçage  $\propto \cos(4\pi t)$  ne disparaît pas (sauf aux zéros de  $\cos$ ).

### 2.2 Principe du code `adrs_multiple_mesh_adap_time_source.py`

Le code implémente l'EDP ADR 1D sur  $[0, 1]$  avec schéma **Euler explicite** et **maillage non uniforme** adaptatif. Les éléments clés sont :

- **Solution exacte séparable**  $u(t)v(x)$  et forçage  $f(x, t)$  correspondants (`u_time`, `du_time`, `v_profile`).
- **Dérivées sur maillage non uniforme** centrées (ordre 1 pour  $u_x$ , formule dérivée pour  $u_{xx}$ ).
- **Pas de temps CFL** basé sur diffusion et advection locales.
- **Résidu**  $\sum |RHS|$  stocké à chaque pas pour visualiser l'instationnarité.
- **Snapshots** de  $u(x, t)$  à  $t \in \{0.1, 0.2, 0.3, 0.5, 0.6, 0.7, 0.8, 0.9, 1.0\}$  et calcul de l'erreur  $\mathcal{L}^2$  finale à  $t = \text{Time}$ .
- **Métrique stationnaire** : basée sur  $|u_{xx}(x, t = \text{Time})|/\text{err\_curv}$ , tronquée entre  $h_{\min}$  et  $h_{\max}$ .
- **Métrique instationnaire : moyenne temporelle** des métriques nodales sur un maillage de fond, équivalente au principe d'*intersection des métriques* en 1D.
- **Reconstruction du maillage** à partir des longueurs locales désirées  $h(x) = 1/\sqrt{\text{métrique}}$ .

**Critère d'arrêt *mixte*.** On ne s'arrête que si **deux conditions** sont *simultanément* satisfaites : (i)  $\text{NX\_new} \geq \text{NX\_min\_required}$  et (ii) erreur  $\mathcal{L}^2 \leq \text{L2\_tol}$ . À défaut, on reconstruit le maillage et on relance la simulation, avec un maximum de `niter_refinement_max` itérations.

## 2.3 Figures et commentaires

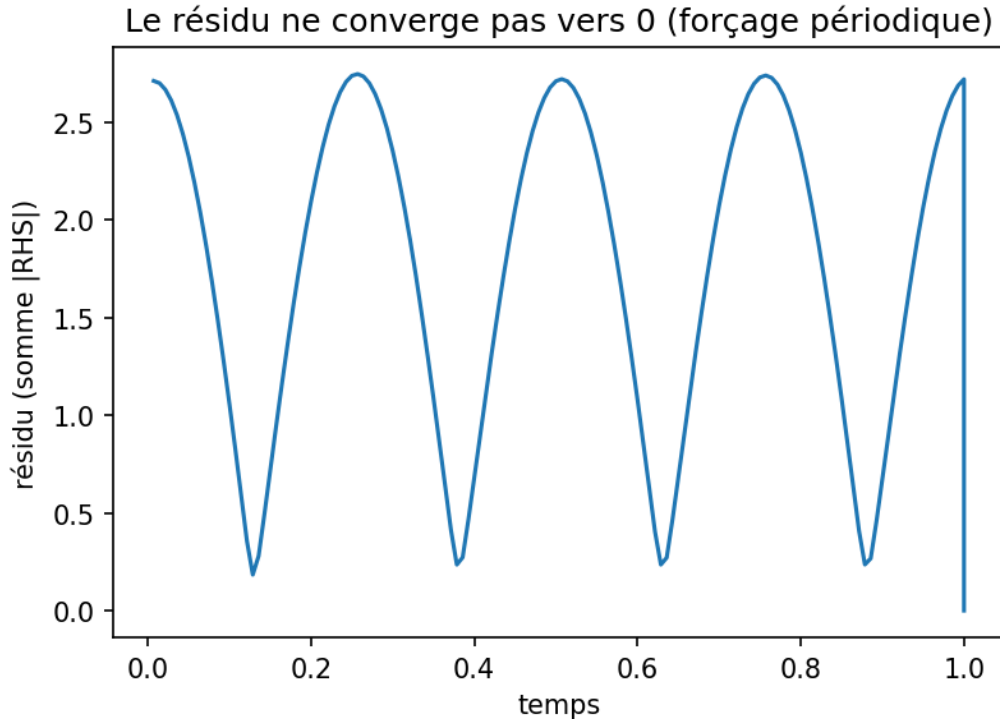


FIGURE 2.1 – Résidu en fonction du temps. Il **ne décroît pas vers 0** à cause du **forçage périodique**  $u'(t)v(x) = 4\pi \cos(4\pi t)v(x)$ . Les minima se produisent près des zéros de  $\cos(4\pi t)$  ( $t \approx 0,125, 0,375, 0,625, 0,875$ ).



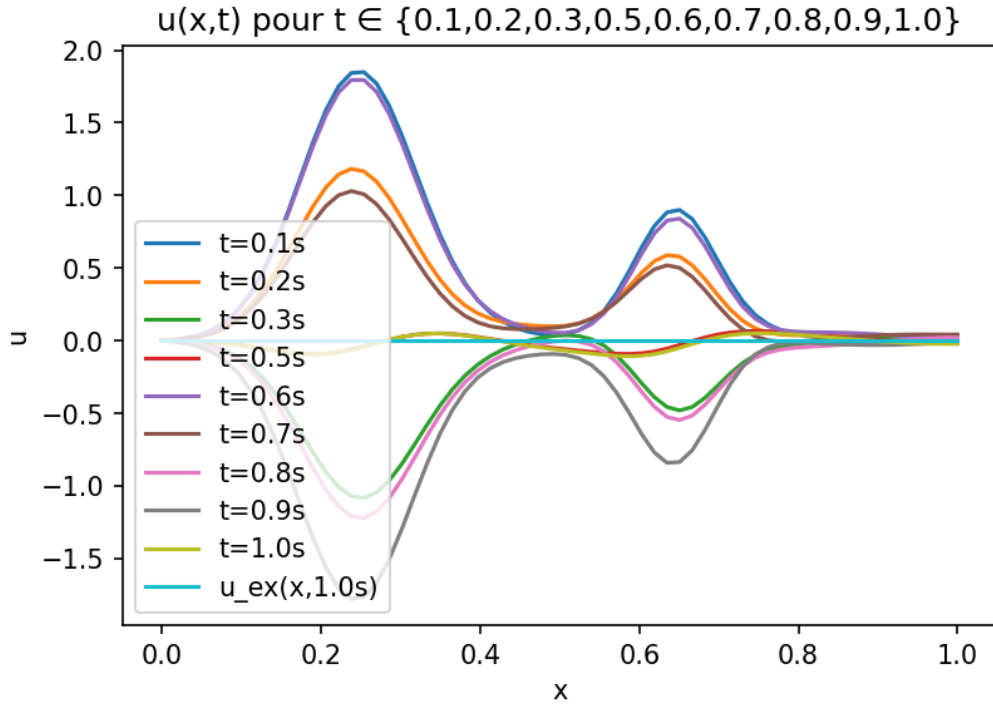


FIGURE 2.2 – Profils  $u(x, t)$  à différents instants pour Time = 1s. La courbe  $u_{\text{ex}}(x, 1.0\text{s})$  est nulle (car  $\sin(4\pi) = 0$ ) et sert de référence. On observe des changements de signe compatibles avec  $u(t) = \sin(4\pi t)$  et une localisation spatiale pilotée par  $v(x)$  (pics gaussiens).

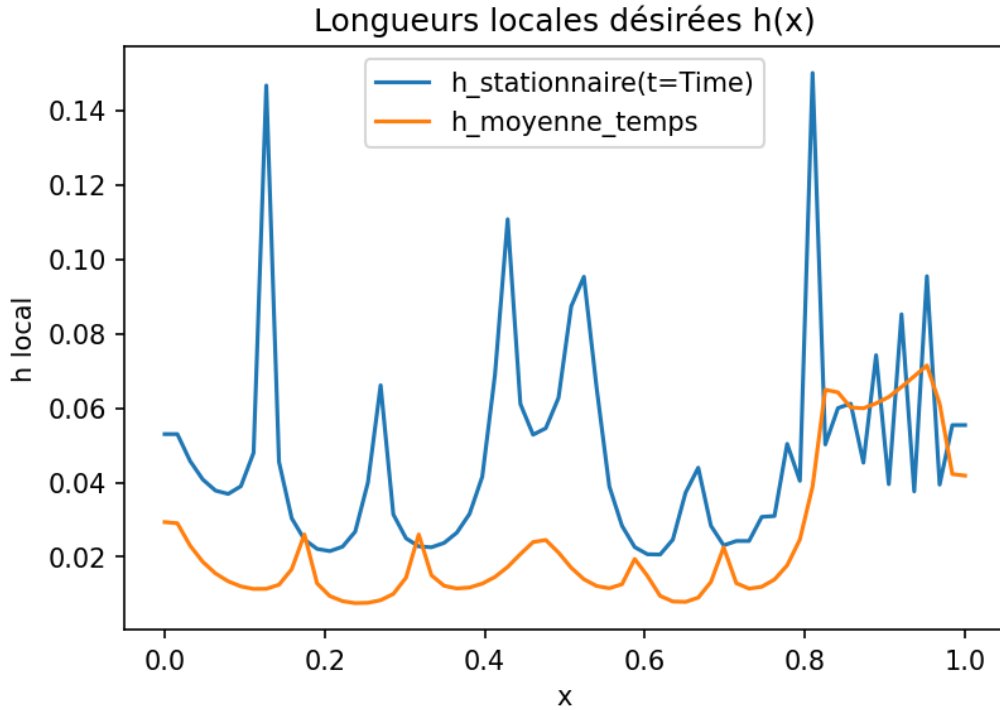


FIGURE 2.3 – Longueurs locales désirées  $h(x)$ . La **métrique stationnaire** (bleu), basée sur l'état final uniquement, présente des pics et des oscillations locales; la **métrique moyenne en temps** (orange) est plus *régulière* et *robuste* pour capturer des structures qui se déplacent dans le temps.

## 2.4 Conclusion de la partie 2

Le problème avec forçage temporel valide que le **résidu ne peut pas converger vers 0** en régime instationnaire. L'algorithme d'**adaptation itérative** avec **critère d'arrêt mixte** garantit un contrôle simultané de la taille du maillage et de l'erreur  $\mathcal{L}^2$ . Enfin, l'**adaptation instationnaire** par *moyenne temporelle* de la métrique (principe d'intersection) fournit un maillage plus pertinent que l'approche strictement stationnaire.

# Annexe A

## Extrait de code

Pour référence, on peut inclure le script principal :

```
1
2 import numpy as np
3 import math
4 import matplotlib.pyplot as plt
5 from dataclasses import dataclass
6
7 # -----
8 # Paramètres du problème
9 # -----
10 @dataclass
11 class Params:
12     V: float = 1.0 # vitesse de convection
13     K: float = 0.1 # diffusion
14     lam: float = 1.0 # réaction
15     L: float = 1.0 # longueur du domaine [0,L]
16     Time: float = 1.0 # temps final
17
18 # Solution exacte utilisée pour construire f
19 def exact_u(x, t):
20     L = 1.0
21     v_env = np.exp(-1000*((x - L/3.0)/L)**2)
22     v = (v_env + np.exp(-10*v_env)) * np.sin(5*np.pi*x/L)
23     return np.sin(4*np.pi*t) * v
24
25 def exact_ut(x, t):
26     L = 1.0
27     v_env = np.exp(-1000*((x - L/3.0)/L)**2)
28     v = (v_env + np.exp(-10*v_env)) * np.sin(5*np.pi*x/L)
29     return 4*np.pi*np.cos(4*np.pi*t) * v
30
31 # Dérivées spatiales centrées
32 def centered_first_derivative(u, dx):
33     ux = np.zeros_like(u)
34     ux[1:-1] = (u[2:] - u[:-2]) / (2*dx)
35     return ux
36
37 def centered_second_derivative(u, dx):
38     uxx = np.zeros_like(u)
39     uxx[1:-1] = (u[:-2] - 2*u[1:-1] + u[2:]) / (dx*dx)
40     return uxx
```

```

41
42 # Terme source
43 def forcing_f(x, t, p: Params):
44     u = exact_u(x, t)
45     ut = exact_ut(x, t)
46     dx = x[1]-x[0]
47     ux = centered_first_derivative(u, dx)
48     uxx = centered_second_derivative(u, dx)
49     f = ut + p.V*ux - p.K*uxx + p.lam*u
50     f[0] = 0.0
51     f[-1] = 0.0
52     return f
53
54 # Opérateur spatial
55 def spatial_operator(T, x, t, p: Params):
56     dx = x[1]-x[0]
57     Tx = centered_first_derivative(T, dx)
58     Txx = centered_second_derivative(T, dx)
59     rhs = -p.V*Tx + p.K*Txx - p.lam*T + forcing_f(x, t, p)
60     rhs[0] = 0.0
61     rhs[-1] = 0.0
62     return rhs
63
64 # Condition CFL pour le pas de temps
65 def cfl_dt(x, p: Params, safety=0.9):
66     dx = x[1]-x[0]
67     choices = []
68     if p.V != 0:
69         choices.append(dx/abs(p.V))
70     if p.K > 0:
71         choices.append(dx*dx/(2*p.K))
72     choices.append(1.0/max(p.lam, 1e-12))
73     return safety * min(choices)
74
75 # Runge-Kutta d'ordre 1 à 4
76 def step_rk(T, t, dt, x, p: Params, order=4):
77     if order == 1:
78         k1 = spatial_operator(T, x, t, p)
79         return T + dt * k1
80     elif order == 2:
81         k1 = spatial_operator(T, x, t, p)
82         k2 = spatial_operator(T + 0.5*dt*k1, x, t + 0.5*dt, p)
83         return T + dt * k2
84     elif order == 3:
85         k1 = spatial_operator(T, x, t, p)
86         T1 = T + dt*k1
87         k2 = spatial_operator(T1, x, t + dt, p)
88         T2 = 0.75*T + 0.25*(T1 + dt*k2)
89         k3 = spatial_operator(T2, x, t + 0.5*dt, p)
90         return (1.0/3.0)*T + (2.0/3.0)*(T2 + dt*k3)
91     elif order == 4:
92         k1 = spatial_operator(T, x, t, p)
93         k2 = spatial_operator(T + 0.5*dt*k1, x, t + 0.5*dt, p)
94         k3 = spatial_operator(T + 0.5*dt*k2, x, t + 0.5*dt, p)
95         k4 = spatial_operator(T + dt*k3, x, t + dt, p)
96         return T + (dt/6.0)*(k1 + 2*k2 + 2*k3 + k4)
97     else:
98         raise ValueError("order must be 1, 2, 3, or 4.")

```

```

99
100 # Erreur L2
101 def l2_error(T, Tex, dx):
102     return math.sqrt(np.sum((T - Tex)**2) * dx)
103
104 # -----
105 # 1) Erreur à T/2 et T pour différents maillages
106 # -----
107 def run_convergence(order=4):
108     mesh_list = list(range(10, 101, 10))
109     p = Params()
110     err_half, err_final, h_list = [], [], []
111     for NX in mesh_list:
112         x = np.linspace(0.0, p.L, NX)
113         h = x[1]-x[0]
114         T = np.zeros_like(x)
115         t = 0.0
116         dt = cfl_dt(x, p, safety=0.8)
117         half_time = 0.5 * p.Time
118         half_recorded = False
119         while t < p.Time - 1e-14:
120             if t + dt > p.Time:
121                 dt = p.Time - t
122                 T = step_rk(T, t, dt, x, p, order=order)
123                 t += dt
124             if (not half_recorded) and t >= half_time:
125                 Tex_half = exact_u(x, half_time)
126                 err_half.append(l2_error(T, Tex_half, h))
127                 half_recorded = True
128                 Tex_T = exact_u(x, p.Time)
129                 err_final.append(l2_error(T, Tex_T, h))
130                 h_list.append(h)
131     return np.array(h_list), np.array(err_half), np.array(err_final)
132
133 def plot_convergence(order=4):
134     h, E_half, E_T = run_convergence(order=order)
135     coef_half = np.polyfit(np.log(h), np.log(E_half + 1e-30), 1)
136     coef_T = np.polyfit(np.log(E_T + 1e-30), np.log(E_T + 1e-30), 1) # keep same
137     behavior as before
138     # Fix potential mistake: slope should be computed vs log(h)
139     coef_T = np.polyfit(np.log(h), np.log(E_T + 1e-30), 1)
140     p_half, p_T = coef_half[0], coef_T[0]
141     print(f"[Convergence] RK{order}: slope at T/2 = {p_half:.3f}")
142     print(f"[Convergence] RK{order}: slope at T = {p_T:.3f}")
143
144     plt.figure()
145     plt.loglog(h, E_half, 'o-', label=f"T/2 (pente ~ {p_half:.2f})")
146     plt.loglog(h, E_T, 's-', label=f"T (pente ~ {p_T:.2f})")
147     plt.gca().invert_xaxis()
148     plt.xlabel("h")
149     plt.ylabel("Erreur L2")
150     plt.title(f"Erreur vs h à T/2 et T (RK{order})")
151     plt.legend()
152     plt.tight_layout()
153     plt.savefig("convergence_RK4_vs_h.png", dpi=150, bbox_inches="tight")
154     plt.show()
155 # -----

```

```

156 # 2) Évolution de l'erreur au point milieu (RK1..4) en échelle log
157 # -----
158 def midpoint_error_vs_time(NX=201, orders=(1,2,3,4)):
159     p = Params()
160     x = np.linspace(0.0, p.L, NX)
161     dx = x[1] - x[0]
162     i_mid = int(round(0.5 * (NX-1)))
163     x_mid = x[i_mid]
164     results = {}
165     for order in orders:
166         T = np.zeros_like(x)
167         t = 0.0
168         dt = cfl_dt(x, p, safety=0.8)
169         times = [t]
170         errs = [abs(T[i_mid] - exact_u(x_mid, t))]
171         while t < p.Time - 1e-14:
172             if t + dt > p.Time:
173                 dt = p.Time - t
174             T = step_rk(T, t, dt, x, p, order=order)
175             t += dt
176             times.append(t)
177             errs.append(abs(T[i_mid] - exact_u(x_mid, t)))
178         results[order] = (np.array(times), np.array(errs))
179     return x_mid, results
180
181 def plot_midpoint_evolution(NX=201, orders=(1,2,3,4), eps=1e-16):
182     """
183     Trace |erreur| au point x_mid en fonction du temps pour RK1..4
184     en échelle logarithmique (axe Y). On ajoute un petit epsilon pour
185     éviter log(0) lorsque l'erreur est nulle (par ex. à t=0).
186     """
187     x_mid, results = midpoint_error_vs_time(NX=NX, orders=orders)
188     plt.figure()
189     for order in orders:
190         t, e = results[order]
191         plt.plot(t, e + eps, label=f"RK{order}")
192     plt.yscale('log')
193     plt.xlabel("Temps")
194     plt.ylabel(f"|erreur| (log) en x={x_mid:.3f}")
195     plt.title("Erreur au milieu du domaine vs temps (RK1..RK4)")
196     plt.legend()
197     plt.tight_layout()
198     plt.savefig("Erreur_RK1_4.png", dpi=150, bbox_inches="tight")
199     plt.show()
200
201
202 if __name__ == "__main__":
203     plot_convergence(order=4)
204     plot_midpoint_evolution(NX=201, orders=(1,2,3,4))

```

```

1 % Fichier: adrs_analysis_midpoint_log.py
2 % (voir dépôt ou fichier à côté du .tex)

```

## Code deuxième partie :

```

1 # -*- coding: utf-8 -*-
2 """

```

```

3  adrs_multiple_mesh_adap_time_source.py (clean plots)
4
5
6  """
7  import numpy as np
8  import math
9  import matplotlib.pyplot as plt
10
11  # ----- Paramètres physiques -----
12  K = 0.01          # Diffusion
13  V = 1.0           # Advection
14  lamda = 1.0       # Réaction
15  xmin, xmax = 0.0, 1.0
16  Time = 1.0        # On s'arrête à 1s pour les tracés demandés
17
18  # ----- Paramètres numériques -----
19  NX_init = 5        # Points initiaux pour lancer l'adaptation
20  NT_max = 200000    # Garde-fou sur le nombre de pas de temps
21  plot_every = 10**9 # Désactivé
22  # Schéma : Euler explicite
23
24  # ----- Paramètres adaptation -----
25  hmin, hmax = 0.005, 0.15
26  err_curv = 0.013   # seuil pour la métrique locale |u_xx|/err_curv
27  niter_refinement_max = 10
28
29  # Critère d'arrêt MIXTE (ne pas arrêter tant que les 2 ne sont pas atteints)
30  NX_min_required = 80 # nombre minimal de points de maillage
31  L2_tol = 1e-3        # tolérance sur l'erreur L2 à t=Time
32
33  # Option d'utilisation de la métrique en moyenne temporelle (True) ou
34  # stationnaire finale (False)
35  USE_TIME_AVG_METRIC = True
36
37  # Maillage de fond pour interpoler et accumuler la métrique en temps
38  NX_background = 400
39  background_mesh = np.linspace(xmin, xmax, NX_background)
40
41  # ----- Fonctions utilitaires -----
42  def u_time(t):
43      """u(t) = sin(4*pi*t)"""
44      return math.sin(4.0*math.pi*t)
45
46  def du_time(t):
47      """u'(t) = 4*pi*cos(4*pi*t)"""
48      return 4.0*math.pi*math.cos(4.0*math.pi*t)
49
50  def v_profile(x):
51      """v(x) = somme de gaussiennes (même que Tex de la version initiale)"""
52      return 2.0*np.exp(-100.0*(x-(xmax+xmin)*0.25)**2) + np.exp(-200.0*(x-(
53          xmax+xmin)*0.65)**2)

```

```

52
53 def central_first_derivative_nonuniform(x, y):
54     """Dérivée première sur maillage non uniforme (ordre 1 centré)."""
55     n = len(x)
56     yp = np.zeros_like(y)
57     for j in range(1, n-1):
58         yp[j] = (y[j+1]-y[j-1])/(x[j+1]-x[j-1])
59     yp[0] = yp[1]
60     yp[-1] = yp[-2]
61     return yp
62
63 def central_second_derivative_nonuniform(x, y):
64     """Dérivée seconde sur maillage non uniforme à partir de pentes centrées
65     ."""
66     n = len(x)
67     yx = central_first_derivative_nonuniform(x, y)
68     yxx = np.zeros_like(y)
69     for j in range(1, n-1):
70         yx_ip1 = (y[j+1]-y[j])/(x[j+1]-x[j])
71         yx_im1 = (y[j]-y[j-1])/(x[j]-x[j-1])
72         denom = 0.5*(x[j+1]+x[j]) - 0.5*(x[j]+x[j-1])
73         yxx[j] = (yx_ip1 - yx_im1)/denom
74     yxx[0] = yxx[1]
75     yxx[-1] = yxx[-2]
76     return yxx
77
78 def interpolate_piecewise_linear(x_src, y_src, x_query):
79     """Interpolation linéaire 1D (x_src croissant). Bords étendus par
80     valeurs aux bords."""
81     yq = np.empty_like(x_query)
82     i = 0
83     for k, xq in enumerate(x_query):
84         if xq <= x_src[0]:
85             yq[k] = y_src[0]; continue
86         if xq >= x_src[-1]:
87             yq[k] = y_src[-1]; continue
88         while not (x_src[i] <= xq <= x_src[i+1]):
89             i += 1
90         t = (xq - x_src[i])/(x_src[i+1] - x_src[i])
91         yq[k] = (1.0-t)*y_src[i] + t*y_src[i+1]
92     return yq
93
94 def build_new_mesh_from_hloc(x_old, hloc, hmin, hmax):
95     """Re-construit un nouveau maillage en suivant les longueurs locales dé
96     sirées hloc."""
97     xnew = [xmin]
98     while xnew[-1] < xmax - hmin:
99         for i in range(len(x_old)-1):
100             if x_old[i] <= xnew[-1] <= x_old[i+1]:
101                 h_here = (hloc[i]*(x_old[i+1]-xnew[-1]) + hloc[i+1]*(xnew
102 [-1]-x_old[i]))/(x_old[i+1]-x_old[i])

```



```

99         h_here = min(max(hmin, h_here), hmax)
100         xnext = min(xmax, xnew[-1] + h_here)
101         xnew.append(xnext)
102         break
103     return np.array(xnew)
104
105 if __name__ == "__main__":
106     # Nettoyage de toutes les figures au démarrage
107     plt.close("all")
108
109     itera = 0
110     NX = NX_init
111     errorL2_hist = []
112     NX_hist = []
113
114     last_hloc_stationary = None
115     last_hloc_timeavg = None
116
117     # Pour les tracés finaux (évite les doublons)
118     times_to_save = [0.1, 0.2, 0.3, 0.5, 0.6, 0.7, 0.8, 0.9, 1.0]
119     snapshots_final = {}
120     residuals_final = []
121     times_r_final = []
122     Tex_final = None
123     x_final = None
124
125     while True:
126         itera += 1
127         x = np.linspace(xmin, xmax, NX)
128         T = np.zeros_like(x) # u(0)=0 => T(x,0)=0
129
130         v = v_profile(x)
131         vx = central_first_derivative_nonuniform(x, v)
132         vxx = central_second_derivative_nonuniform(x, v)
133
134         F_spatial = V*vx - K*vxx + lamda*v
135
136         dx_local = np.diff(x)
137         dx_min = np.min(dx_local)
138         dt_diff = 0.45 * dx_min*dx_min / (K + 1e-14)
139         dt_adv = 0.45 * dx_min / (abs(V) + 1e-14)
140         dt = min(dt_diff, dt_adv)
141         if dt <= 0:
142             dt = 1e-4
143
144         t = 0.0
145         nstep = 0
146         residuals = []
147         times_r = []
148         snapshots = {}
149         Mback_sum = np.zeros_like(background_mesh)

```

```

150     Mback_count = 0
151     to_save_set = set(times_to_save)
152
153     while t < Time and nstep < NT_max:
154         nstep += 1
155         if t + dt > Time:
156             dt = Time - t
157
158         Tx = central_first_derivative_nonuniform(x, T)
159         Txx = central_second_derivative_nonuniform(x, T)
160
161         visnum = np.zeros_like(T)
162         for j in range(1, len(x)-1):
163             visnum[j] = 0.5*(0.5*(x[j+1]+x[j]) - 0.5*(x[j]+x[j-1]))*abs(
V)
164             xnu = K + visnum
165
166             ut = u_time(t)
167             dut = du_time(t)
168             F_time = dut*v + ut*F_spatial
169
170             RHS = np.zeros_like(T)
171             for j in range(1, len(x)-1):
172                 RHS[j] = dt * (-V*Tx[j] + xnu[j]*Txx[j] - lamda*T[j] +
F_time[j])
173
174             T[1:-1] += RHS[1:-1]
175             T[-1] = T[-2]
176
177             res = float(np.sum(np.abs(RHS[1:-1])))
178             residuals.append(res)
179             times_r.append(t+dt)
180
181             for tk in sorted(list(to_save_set)):
182                 if t < tk <= t+dt + 1e-14:
183                     snapshots[tk] = (x.copy(), T.copy())
184                     to_save_set.remove(tk)
185
186             metric_nodes = np.minimum(1.0/hmin**2, np.maximum(1.0/hmax**2,
np.abs(Txx)/err_curv))
187             Mback_sum += interpolate_piecewise_linear(x, metric_nodes,
background_mesh)
188             Mback_count += 1
189
190             t += dt
191
192     uT = u_time(Time)
193     Tex = uT * v
194
195     # Erreur L2 finale
196     errL2 = 0.0

```

```

197     for j in range(1, len(x)-1):
198         wj = 0.5*(x[j+1]-x[j-1])
199         errL2 += wj * (T[j]-Tex[j])**2
200     errL2 = math.sqrt(max(errL2, 0.0))
201
202     errorL2_hist.append(errL2)
203     NX_hist.append(NX)
204
205     Txx_final = central_second_derivative_nonuniform(x, T)
206     metric_stationary = np.minimum(1.0/hmin**2, np.maximum(1.0/hmax**2,
np.abs(Txx_final)/err_curv))
207     hloc_stationary = 1.0/np.sqrt(metric_stationary)
208     last_hloc_stationary = (x.copy(), hloc_stationary.copy())
209
210     Mback_avg = Mback_sum / max(Mback_count, 1)
211     metric_timeavg_nodes = interpolate_piecewise_linear(background_mesh,
Mback_avg, x)
212     metric_timeavg_nodes = np.minimum(1.0/hmin**2, np.maximum(1.0/hmax
**2, metric_timeavg_nodes))
213     hloc_timeavg = 1.0/np.sqrt(metric_timeavg_nodes)
214     last_hloc_timeavg = (x.copy(), hloc_timeavg.copy())
215
216     # Conserve UNIQUEMENT les données de cette itération (dernière si on
sort)
217     snapshots_final = snapshots
218     residuals_final = residuals
219     times_r_final = times_r
220     Tex_final = Tex
221     x_final = x
222
223     # Critère d'arrêt mixte
224     hloc_to_use = hloc_timeavg if USE_TIME_AVG_METRIC else
hloc_stationary
225     x_new = build_new_mesh_from_hloc(x, hloc_to_use, hmin, hmax)
226     NX_new = len(x_new)
227
228     cond_points = (NX_new >= NX_min_required)
229     cond_error = (errL2 <= L2_tol)
230     print(f"[Iter {itera}] NX_old={NX}, NX_new={NX_new}, L2={errL2:.3e},
"
231           f"points_ok={cond_points}, error_ok={cond_error}")
232
233     if (cond_points and cond_error) or itera >= niter_refinement_max:
234         break
235     NX = NX_new
236
237     # ----- TRACÉS (une seule fois) -----
238     # 1) Solution u(x,t) aux instants demandés
239     plt.figure("Solution u(x,t) à différents instants"); plt.clf()
240     for tk in [0.1, 0.2, 0.3, 0.5, 0.6, 0.7, 0.8, 0.9, 1.0]:
241         if tk in snapshots_final:

```

```

242         xs, Ts = snapshots_final[tk]
243         plt.plot(xs, Ts, label=f"t={tk:.1f}s")
244     if Tex_final is not None:
245         plt.plot(x_final, Tex_final, label="u_ex(x,1.0s)")
246     plt.xlabel("x"); plt.ylabel("u"); plt.legend()
247     plt.title("u(x,t) pour t {0.1,0.2,0.3,0.5,0.6,0.7,0.8,0.9,1.0}")
248
249     # 2) Résidu instationnaire
250     plt.figure("Résidu vs temps (instationnaire)"); plt.clf()
251     if len(times_r_final)>0:
252         plt.plot(np.array(times_r_final), np.array(residuals_final))
253     plt.xlabel("temps"); plt.ylabel("résidu (somme |RHS|)")
254     plt.title("Le résidu ne converge pas vers 0 (forçage périodique)")
255
256     # 3) h(x) final : stationnaire vs moyenne en temps (deux courbes sans
257     # doublons)
258     plt.figure("Distribution h(x) finale"); plt.clf()
259     xs, hs = last_hloc_stationary
260     xt, ht = last_hloc_timeavg
261     plt.plot(xs, hs, label="h_stationnaire(t=Time)")
262     plt.plot(xt, ht, label="h_moyenne_temps")
263     plt.xlabel("x"); plt.ylabel("h local"); plt.legend()
264     plt.title("Longueurs locales désirées h(x)")
265
266     iters = np.arange(1, len(errorL2_hist)+1)
267
268     # Sauvegardes
269     plt.figure("Solution u(x,t) à différents instants")
270     plt.savefig("solutions_instants.png", dpi=150, bbox_inches="tight")
271     plt.figure("Résidu vs temps (instationnaire)")
272     plt.savefig("residu_vs_temps.png", dpi=150, bbox_inches="tight")
273     plt.figure("Distribution h(x) finale")
274     plt.savefig("h_distribution.png", dpi=150, bbox_inches="tight")

```